

УДК 542.61

ХИМИЯ

А. М. РОЗЕН, Б. В. МАРТЫНОВ, В. И. АНИКИН

О МЕХАНИЗМЕ ЭКСТРАКЦИИ УРАНИЛНИТРАТА
ФОСФОРОГАНИЧЕСКИМИ КИСЛОТАМИ ИЗ АЗОТНИКИСЛЫХ
РАСТВОРОВ

(Представлено академиком М. И. Кабачником 21 XII 1970)

Известно, что при низких кислотностях экстракция уранилнитрата и других элементов диалкилфосфорными кислотами (ДАФК) идет по ионобменному механизму^(1, 2). Мнения же относительно взаимодействия уранилнитрата и ДАФК в сильнокислых средах противоречивы^(3–7). Предполагается^(3–5) образование дисольвата $\text{UO}_2(\text{NO}_3)_2 \cdot 2\text{HR}$, экстракция иона⁽⁶⁾ UO_4^{4+} и синергетного димера⁽⁷⁾ $[\text{UO}_2\text{NO}_3(\text{HR}_2)]_2 \cdot 2\text{HR}$. Цель данной статьи — выяснить механизм процесса на примере экстракции уранилнитрата ди-2-этилгексилфосфорной кислотой (Д-2-ЭГФК) из сильнокислых сред, а также дать количественное описание процесса в широком интервале кислотности.

Была исследована экстракция урана (IV) при его исходных концентрациях 4,25 и 1,6 г/л из азотникислых растворов в широком интервале кислотности, а также при введении высаливателей (нитратов лития, натрия и аммония) в 2 M азотную кислоту (рис. 1). Использовался 0,195 M раствор Д-2-ЭГФК в CCl_4 . Для выяснения механизма экстракции в области концентраций $\text{HNO}_3 > 2 \text{ M}$ было изучено влияние концентрации водородных ионов при ионной силе $\mu = 5$ (рис. 2). Постоянство ионной силы поддерживалось смесью нитратов лития и натрия при соотношении 7:5, что позволило сохранить уровень гидратации, характерный для азотной кислоты. Оказалось (рис. 2, кривая 1), что коэффициент распределения (D) обратно пропорционален концентрации ионов водорода в первой степени. (При использовании LiNO_3 или NaNO_3 , не обеспечивающих поддержание постоянного уровня гидратации, мы получили соответственно $D \sim [\text{H}^+]^{-1,17}$ и $D \sim [\text{H}^+]^{-0,53}$.)

Логарифмическая зависимость коэффициента распределения от концентрации NO_3^- -ионов (рис. 2, кривая 2) оказалась не вполне линейной; тангенс угла наклона кривой близок к единице, но возрастает от 1,0 до 1,5. Это объясняется изменением коэффициентов активности γ_{\pm} (постоянство ионной силы $\mu = 5$ поддерживалось соляной кислотой, так как UO_2Cl_2 экстрагируется Д-2-ЭГФК очень незначительно, а γ_{\pm} для HNO_3 и HCl заметно отличаются).



Рис. 1. Зависимость D от NO_3^- при экстракции урана (VI) 0,195 M раствором Д-2-ЭГФК в CCl_4 : 1 — концентрация урана (VI) в исходной водной фазе 1,6 г/л; 2 — 4,25 г/л; 3, 4 и 5 — влияние высаливателей LiNO_3 , NaNO_3 и NH_4NO_3 в присутствии 2 M HNO_3 и 4,25 г/л урана (VI)

ионов (рис. 2, кривая 2) оказалась не вполне линейной; тангенс угла наклона кривой близок к единице, но возрастает от 1,0 до 1,5. Это объясняется изменением коэффициентов активности γ_{\pm} (постоянство ионной силы $\mu = 5$ поддерживалось соляной кислотой, так как UO_2Cl_2 экстрагируется Д-2-ЭГФК очень незначительно, а γ_{\pm} для HNO_3 и HCl заметно отличаются).

ются)*. Из изложенного можно сделать вывод, что $D \sim [NO_3^-]/[H^+]$. Таким образом, отпадает представление о чисто сольватном механизме (ибо тогда коэффициент распределения не должен зависеть от концентрации водородных ионов); отпадает и предположение о наличии только ионообменного механизма, так как $D \sim [NO_3^-]$. Наконец, отпадает и предположение об образовании димерного комплекса $[UO_2(NO_3)(HR_2)]_2$.

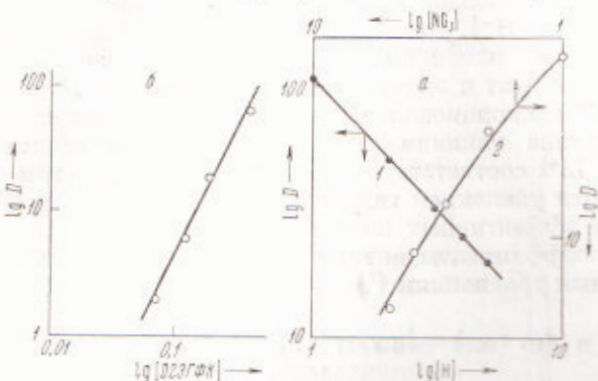


Рис. 2. Зависимость $\lg D$: а — от концентрации ионов; 1 — $[H^+]$ и 2 — $[NO_3^-]$ при ионной силе $\mu = 5$ и б — от концентрации экстрагента (Д-2ЭГФК)

$\cdot 2HR$, так как в таком случае коэффициенты распределения должны расти пропорционально концентрации урана (VI). Однако из рис. 1 следует, что при возрастании в исходном водном растворе концентрации урана (VI) коэффициент распределения падает (причем приблизительно пропорционально изменению квадрата концентрации свободного экстрагента).

Можно сделать вывод, что экстракция уранилнитрата в сильнокислой среде происходит по обменно-сольватному механизму с образованием смешанного комплекса, содержащего один неорганический и один органический анион. Учитывая, что сольватное число $q = 2$ (тангенс наклона прямой рис. 2б равен двум), имеем



Тогда эффективная константа экстракции будет

$$\bar{K}_{12} = \frac{D [H^+] \gamma_{\pm H^+}^2}{[NO_3^-] \gamma_{\pm U}^3} \frac{1}{S^2}, \quad (2)$$

где S — концентрация свободного экстрагента с учетом димерной формы экстрагента и экстракции азотной кислоты.

$$S = \frac{(S_0/2 - 2y_U)}{1 + \bar{K}_{12} x_H [NO_3^-] \gamma_{\pm H^+}^2 \gamma_{H_2O}^2}, \quad (3)$$

где y и x — равновесные концентрации соответственно в органической и водной фазе, S_0 — аналитическая концентрация экстрагента, γ_{H_2O} — активность воды, γ_{\pm} — коэффициенты активности в водной фазе, индексы U и H означают уранилнитрат и азотную кислоту**.

* Использование $HClO_4$ для обеспечения постоянства ионной силы непригодно из-за значительной экстрагируемости $UO_2(ClO_4)_2$; кривая получается с максимумом: $D = 37$ при $x_{HClO_4} = 3,5 M$ и $x_{HNO_3} = 1,5 M$.

** Предварительно была изучена экстракция азотной кислоты Д-2ЭГФК и найдено, что константа экстракции (моносольватадигидраты HNO_3) $\bar{K} = 3,4 \cdot 10^{-3}$, т. е. в 60 раз меньше, чем при экстракции ТБФ.

Тогда

$$D_{12} = \bar{K}_{12} \frac{[\text{NO}_3^-]}{[\text{H}^+]} \frac{\gamma_{\pm\text{U}}^3}{\gamma_{\pm\text{H}}^2} S^2. \quad (4)$$

Из соотношения (4) ясно, почему возрастание кислотности влияет на изменение D незначительно: если в водной фазе присутствует только кислота, то $[\text{NO}_3^-] \approx [\text{H}^+]$, множитель $[\text{NO}_3^-]/[\text{H}^+]$ сокращается и D меняется лишь за счет изменения γ_{\pm} и S . Добавка же высаливателя при $[\text{H}^+] = \text{const}$ приводит к значительному увеличению D (рис. 1), так как в этом случае D пропорционален концентрации нитрат-ионов. Ясна и качественная картина влияния высаливателей. Возрастание D в ряду $\text{NH}_4^+ - \text{Na}^+ - \text{Li}^+$ соответствует общим закономерностям высаливания (*) и объясняется усилением гидратации катионов в ряду $\text{NH}_4^+ - \text{Li}^+$.

При расчете эффективных констант экстракции по формуле (2) использовались коэффициенты активности в смешанной среде, найденные по приближенным уравнениям (*)

$$\lg \gamma_{\pm\text{H}}(x_{\text{H}}, x_{\text{выс}}) = \lg \gamma_{\pm\text{H}}(x_{\text{H}}, 0) + 0,5(\delta_{\text{H}}^* + \delta_{\text{выс}}^*) x_{\text{выс}}, \quad (5)$$

$$\lg \gamma_{\pm\text{U}}(x_{\text{U}}, x_{\text{выс}}) = \lg \gamma_{\pm\text{U}}(x_{\text{U}} = x_{\text{H}}/3) + 0,5(\delta_{\text{U}}^* + \delta_{\text{выс}}^*) x_{\text{выс}}. \quad (6)$$

Значения δ_{H}^* , δ_{U}^* и $\delta_{\text{выс}}^*$ являются тангенсом угла наклона прямых $\lg \gamma_{\pm} = f(x)$. По данным (*, 10) мы нашли $\delta_{\text{H}}^* = 0,091$; $\delta_{\text{U}}^* = 0,088$; $\delta_{\text{Li}}^* = 0,091$; $\delta_{\text{Na}}^* = -0,037$; $\delta_{\text{NH}_4^+}^* = -0,069$. Константы оказались практически постоянными и составили: в отсутствие высаливателей $\bar{K} = 1,25 \cdot 10^4$; (табл. 1) при добавлении LiNO_3 , NaNO_3 , NH_4NO_3 соответственно $\bar{K} \sim 1,4 \cdot 10^4$, $\bar{K} \sim 1,1 \cdot 10^4$, $\bar{K} \sim 0,72 \cdot 10^4$ (расхождения в значениях эффективных констант экстракции связаны с приближенным характером расчета коэффициентов активности). Постоянство констант свидетельствует о правильности механизма. Дополнительным указанием на правильность выбранного механизма является работа (11), в которой показано, что при смешении сильно кислого раствора уранилнитрата с дигидрофосфорной кислотой осаждаются дигидрофосфаты состава $\text{UO}_2\text{NO}_3(\text{HR}_2)$ и $\text{UO}_2\text{NO}_3\text{HR}_2(\text{HR})_2$.

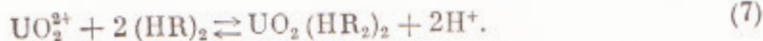
Таблица 1

Экстракция уранилнитрата 0,195 M раствором Д-2-ЭГФК в CCl_4
из азотнокислых растворов

C_{HNO_3} , M	Концент- рация U (VI) в водной фазе, мг/л	Коэффи- циент распреде- ления, D	Концент- рация свободно- го экстраген- та, S, моль/л	Капсуль- ся кон- станта равновес- ия, $\bar{K} \cdot 10^{-4}$	Коэффициен- ты активно- сти, рассчи- танные по уравнению (5), $\gamma_{\pm\text{H}^+}$	Коэффициен- ты активно- сти, рассчи- танные по уравнению (6), $\gamma_{\pm\text{U}}$	Эффективная константа равновесия, $\bar{K} \cdot 10^{-4}$
2	260	15,4	0,0635	3,84	0,86	0,602	1,30
3	248	16,2	0,0622	4,22	1,05	0,742	1,15
4	217	18,5	0,0592	5,25	1,31	0,890	1,29
5	205	20,0	0,0550	6,64	1,62	1,12	1,25
6	190	20,5	0,0497	8,34	1,97	1,35	1,32
7	205	20,0	0,0442	10,26	2,36	1,66	1,33
8	216	18,7	0,0385	12,70	2,78	1,98	1,26
9	230	17,5	0,0329	16,80	3,24	2,36	1,25

Наблюдаемое уменьшение коэффициента распределения урана (VI) при $[\text{HNO}_3] > 7 \text{ M}$ объясняется уменьшением концентрации свободного экстрагента за счет экстракции азотной кислоты, поскольку $D \sim (\gamma_{\pm\text{U}}^3 / \gamma_{\pm\text{H}}^2) S^2$, а $\gamma_{\pm\text{U}}$ возрастает с увеличением кислотности. В области низких кислотностей по нашим данным $D \sim [\text{H}^+]^{2-}$, т. е. экстракция идет по

уравнению



Коэффициент распределения будет тогда

$$D_1 = \frac{\bar{K}_1 S^2}{[\text{H}^+]^2} \frac{\gamma_{\pm \text{U}}^3}{\gamma_{\pm \text{H}}^4}. \quad (8)$$

Расчетом эффективной константы для ионообменной области получено $\bar{K}_1 = 8100$.

Уравнение

$$D = D_1 + D_{12} = \left[\frac{\bar{K}_1}{[\text{H}^+]^2 \gamma_{\pm \text{H}}^4} + \frac{\bar{K}_{12} [\text{NO}_3^-]}{[\text{H}^+] \gamma_{\pm \text{H}}^2} \right] S^2 \gamma_{\pm \text{U}}^3 \quad (9)$$

описывает наряду с ионообменным и обменно-сольватным механизмом также и переходную область (рис. 3).

Определенный интерес представляет вопрос о возможности существования чисто сольватного механизма, т. е. образование соединения $\text{UO}_2(\text{NO}_3)_2 \cdot 2\text{HR}$. Нетрудно показать, что в случае образования этого сольвата с константой \bar{K}_2 константа экстракции \bar{K}_{12} , рассчитанная по уравнению (2), должна возрастать с концентрацией азотной кислоты

$$\bar{K}_{12} = \bar{K}_{12\text{ист}} + \bar{K}_2 x_{\text{H}}^2 \gamma_{\pm \text{H}}^2.$$

Однако, такое возрастание не наблюдается. Если считать, что \bar{K}_{12} определена нами с точностью $\pm 10\%$, т. е. $\pm 10^3$, то поскольку при высоких концентрациях азотной кислоты ее активность также составляет $10^2 - 10^3$, можно заключить, что \bar{K}_2 не может превышать нескольких единиц. Это означает, что сольватный комплекс практически не образуется, по-видимому, из-за стерических препятствий. При использовании диалкилфосфорной кислоты нормального строения \bar{K}_{12} уже заметно возрастает, т. е. наблюдается заметная экстракция по сольватному механизму ($\bar{K}_{12} = 2,8 \cdot 10^4$, $\bar{K}_2 = 4,0 \cdot 10^2$), хотя основным продолжает оставаться обменно-сольватный механизм. Найдено, что в ряду диалкил-фосфорные-фосфоновые-фосфиновые кислоты роль сольватного механизма повышается и для двух последних кислот в сильнокислой области ($> 2M$) он становится основным; этот механизм является и наиболее структурно-чувствительным: при замене RO-группы на R значение \bar{K}_2 возрастает в 20 раз, тогда как \bar{K}_1 — в 4 раза.

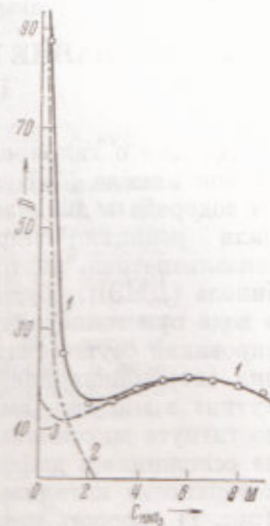


Рис. 3. Сопоставление экспериментальных данных (точки) с расчетом по уравнениям: 1 — (9), 2 — (4) и 3 — (8)

Поступило
15 XII 1970

ЦИТИРОВАННАЯ ЛИТЕРАТУРА

- ¹ T. V. Healy, J. Kennedy, J. Inorg. and Nucl. Chem., 10, 1—2, 128 (1959).
- ² C. J. Hardy, J. Inorg. and Nucl. Chem., 21, 3—4, 348 (1961). ³ C. F. Baes, R. A. Zingaro, C. F. Coleman, J. Phys. Chem., 62, 2, 129 (1958). ⁴ T. Sato, J. Inorg. and Nucl. Chem., 25, 1, 109 (1963). ⁵ M. Asano, N. Kohsaka, T. Nishi, Bull. Eng. Res. Inst. Kyoto Univ., 27, 49 (1965). ⁶ А. А. Немодрук, Л. П. Глухова, Радиохимия, 9, 3, 304 (1967). ⁷ В. М. Вдовенко, И. Г. Вайлов, Радиохимия, 11, 2, 234 (1969). ⁸ А. М. Розен, Solv. Ext. Chem. North-Holland, Amsterdam, 1967. ⁹ Р. Робинсон, Р. Стокс, Растворы электролитов, М., 1963. ¹⁰ W. Jr. Davis, H. I. Bruijn, J. Inorg. and Nucl. Chem., 26, 1069 (1964). ¹¹ П. Г. Крутиков, А. С. Соловкин, ЖНХ, 15, 6, 1610 (1970).